

和血球分析仪上进行检测，依次测定凝血四项：凝血酶原时间（PT）、活化部分凝血酶时间（APTT）、凝血酶时间（TT）、纤维蛋白原（FIB）和血小板（PLT）。

2.6 统计方法

采用 SPSS 20.0 统计软件分析，所有实验数据以 $\bar{x} \pm s$ 表示，统计学处理采用方差分析。

3 结果

3.1 DCC-CDs 制备和表征结果

3.1.1 HPLC 分析结果 DCC-CDs 通过提取分离、滤过、浓缩、透析等一系列过程制备完成。绵马贯众药材和 DCC-CDs 的 HPLC 图谱对比见图 1，绵马

贯众生药的 HPLC 图谱（图 1-A）中可以看出其成分复杂，小分子种类繁多；而 DCC-CDs 的 HPLC 图谱（图 1-B），在相同的液相条件下，DCC-CDs 中并未检测到小分子类化合物。

3.1.2 TEM 观察结果 DCC-CDs 的微观结构通过 TEM 来观察，如图 2-a 低分辨 TEM 结果表明，绵马贯众炭中的纳米类成分粒径分布较均一，在 1~7 nm，主要集中在 4.2 nm 左右，符合正态分布特征，如图 2-b。由此可知，该温度下烧制的 DCC-CDs 均一性良好。高分辨 TEM 结果如图 2-c 所示，成分呈现出类球形结构，晶格分布明显清晰，晶格间距为 0.278 nm。

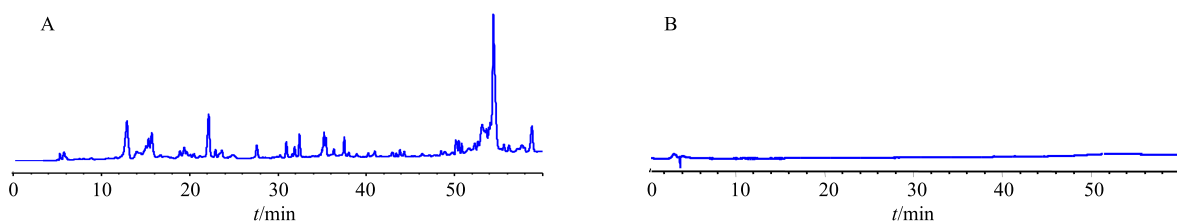
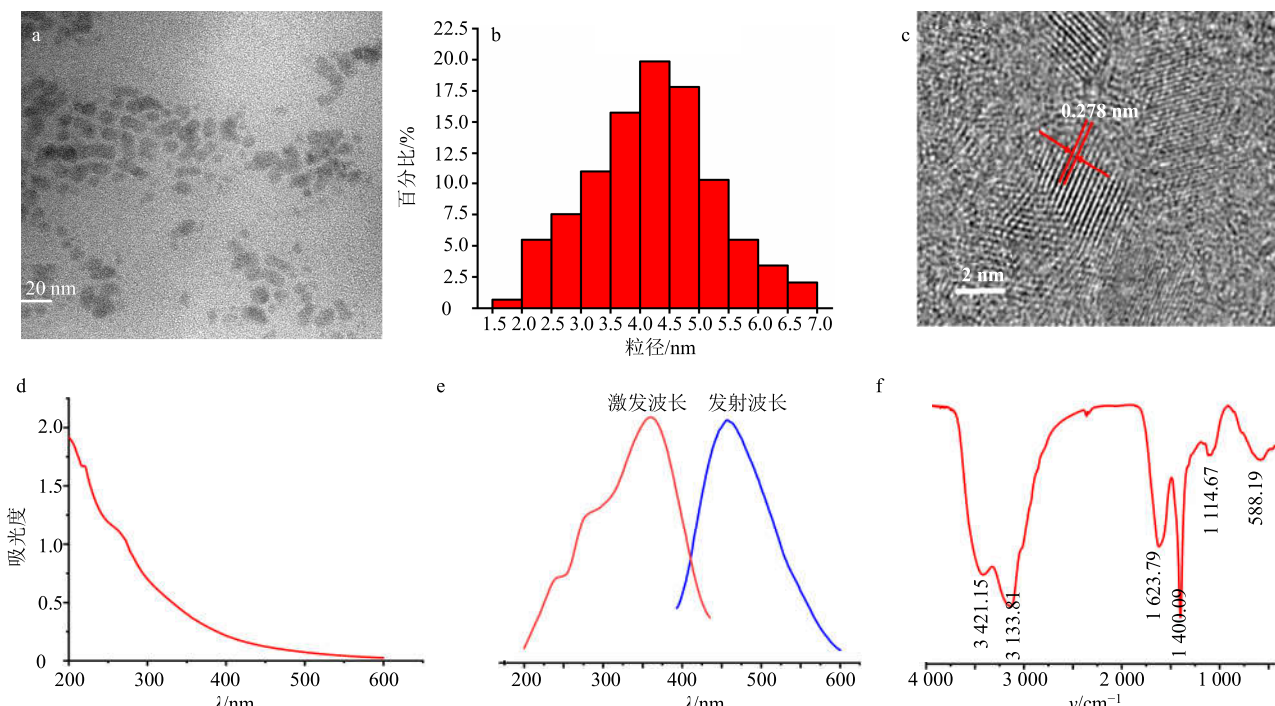


图 1 绵马贯众药材 (A) 和 DCC-CDs (B) 的 HPLC 图谱

Fig. 1 HPLC of (a) *Dryopteris Crassirhizomatis Rhizoma Carbonisatum* (A) and DCC-CDs (B)



a-TEM 图 b-粒径分布图 c-HR-TEM 图 d-紫外光谱图 e-荧光光谱图 f-红外光谱图

a-TEM images of DCC-CDs b-histogram depicting particle size distribution c-HR-TEM image of DCC-CDs d-ultraviolet-visible (UV-vis) chart e-fluorescence spectra and spectrum chart f-FTIR spectrum chart

图 2 DCC-CDs 的表征结果
Fig. 2 Characterization of DCC-CDs

3.1.3 DCC-CDs 的光学特征、结构特征信息 利用紫外分光光度计测定出的紫外光谱图见图 2-d, 结果显示 DCC-CDs 在 260 nm 左右有微弱的紫外吸收, 这可能是由于 C=O 双键引起的 $n-\pi^*$ 跃迁所导致。荧光光谱图见图 2-e, 如图所示 DCC-CDs 的荧光光谱的最大激发波长出现在 360 nm 左右, 最大发射波长出现在 460 nm 左右。以硫酸奎宁为参照, 计算 DCC-CDs 的 Q 为 7.3%。红外光谱结果如图 2-f, 红外吸收峰分别为 3 421、3 133、1 623、1 400、1 114、588 cm⁻¹, 分析可知 3 421 cm⁻¹ 峰为-N-H 键, 3 313 cm⁻¹ 的峰表示-O-H 键, 1 623 cm⁻¹ 的弱吸收表示-C=O 键, 1 400 cm⁻¹ 的强吸收表示-C-N 键。红外光谱结果显示 DCC-CDs 表面存在羟基、羰基和氨基等功能基团。

3.1.4 DCC-CDs 元素组成和表面官能团分析 通过 X 射线光电子能谱分析技术 (XPS) 对 DCC-CDs 元素组成和表面官能团进行了表征。全扫描如图 3-a 所示, 在 284.8、400.1、532.9 eV 的 3 个峰, 表明 DCC-CDs 样品主要由 C、O 元素和少量 N 元素组成。元素分析结果表明样品中碳含量为 72.07%, 氧含量为 25.55%, 而氮含量仅为 2.08%。在高分辨率 XPS 谱图中, C1s 谱带 (图 3-b) 可以解析为 284.6、286.1、288.4 eV 的 3 个峰, 分别对应于 C-C、C-O 和 C=O/C=N 键。O1s 谱带 (图 3-c) 在 531.4、532.6、533.2 eV 处出现 3 个峰, 分别对应 C=O、C-OH 和 O-C=O 键。N1s 谱带 (图 3-d) 可以解析为 399.5、400.2、401.0 的 3 个峰, 分别对应 N=C、C-N-C 和 N-(C)₃ 键。

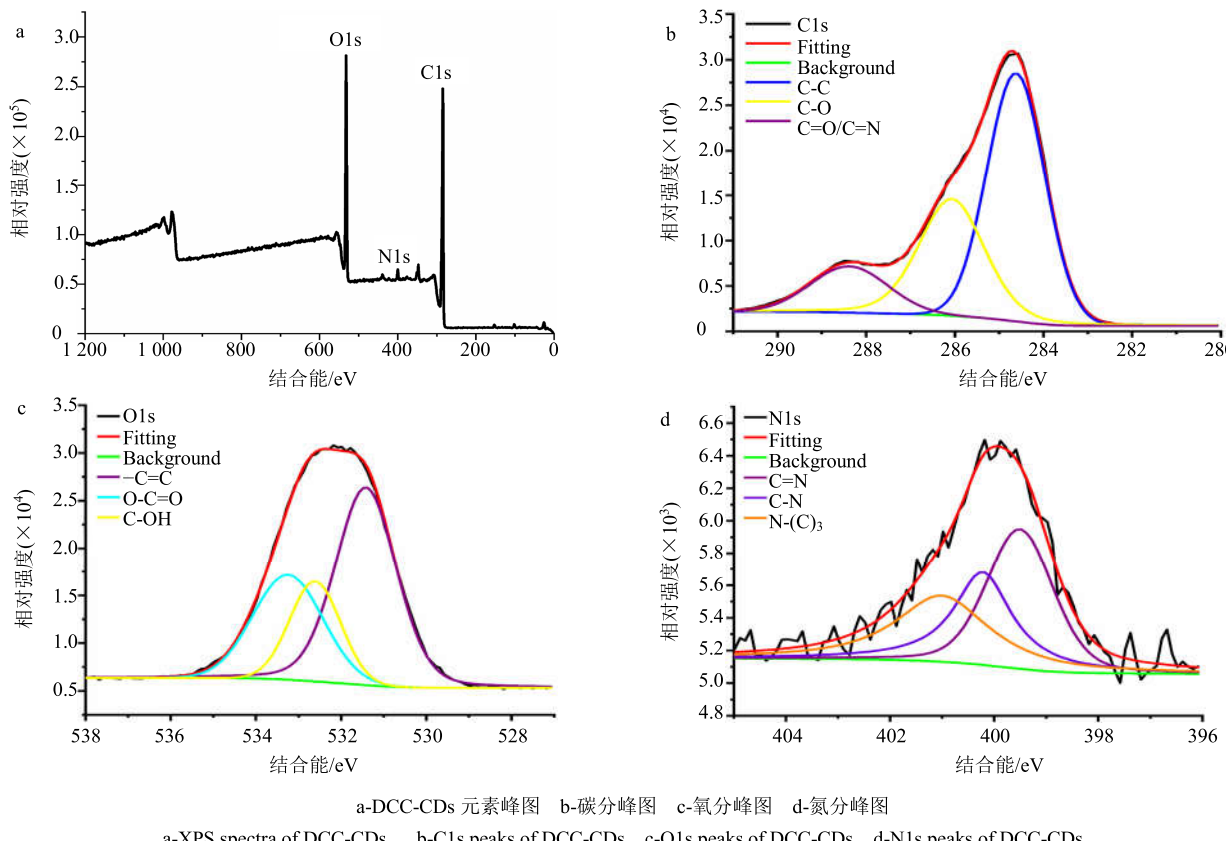


图 3 DCC-CDs 的表面基团和元素组成信息分析

Fig. 3 Surface composition and elemental analysis of DCC-CDs

3.2 DCC-CDs 的止血效果

在小鼠断尾出血实验中, HC 和 DCC-CDs 高、中、低剂量均能减少小鼠出血时间。结果见表 1, 与对照组比较, DCC-CDs 高、中、低剂量组和 HC 组小鼠断尾出血时间显著减少 ($P < 0.01$)。在

小鼠肝脏出血实验中, 与对照组相比, HC 和 DCC-CDs 高、中、低剂量均显著减少小鼠肝脏出血时间 ($P < 0.01$)。这表明高、中、低剂量 DCC-CDs 对于小鼠的尾尖和肝脏出血模型均具有较为明显的止血作用。

